

## Physique : DM9

De l'atome d'H aux galaxies (Centrale PC – 2018)

Q1) Soit  $\vec{F} = \frac{qq'}{4\pi\epsilon_0 r^2} \Rightarrow \vec{F} = -\frac{e^2}{4\pi\epsilon_0 r^2} \hat{u}_r$

Q2) Or  $dE_p = -\vec{F} \cdot d\vec{r}$   $\Rightarrow E_p = -\frac{e^2}{4\pi\epsilon_0 r} + \text{cste}$ , avec  $\lim_{r \rightarrow \infty} E_p = 0$

Q3) Soit  $\frac{d\vec{L}}{dt} = \vec{O} \vec{M} \wedge \vec{F} = \vec{0}$ .

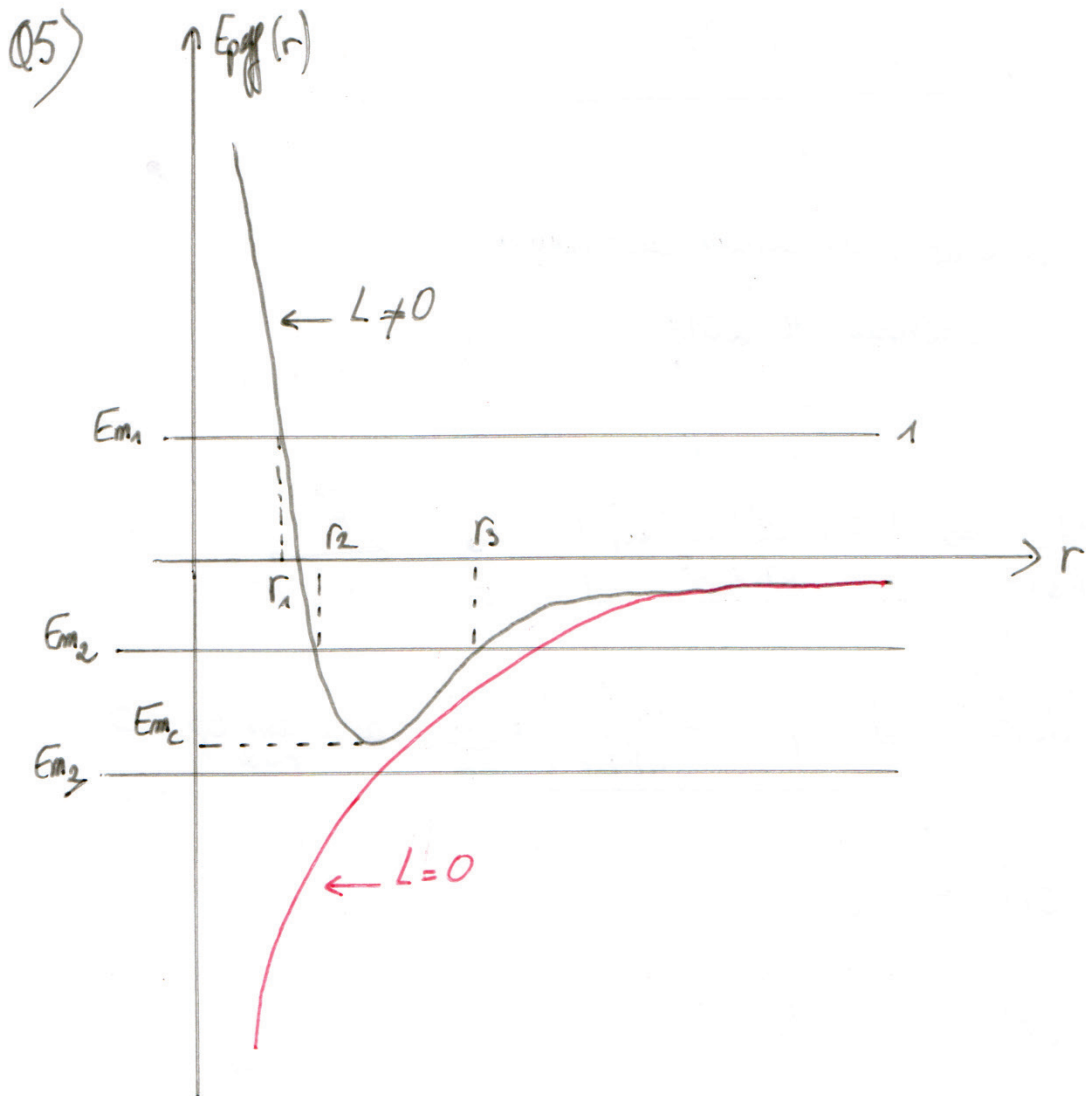
 $\Rightarrow \vec{L} = \vec{O} \vec{M} \wedge m\vec{v} = \text{cste}$ 
 $\Rightarrow \vec{v} \text{ et } \vec{O} \vec{M} \in \text{au m\^e plan qui est toujours orthogonal a' } \vec{L}$ 
 $\Rightarrow \text{Le mouvement est plan}$

Q4) Soit  $E_m = \frac{1}{2} m_e v^2 - \frac{e^2}{4\pi\epsilon_0 r} = \frac{1}{2} m_e (\dot{r}^2 + (r\dot{\theta})^2) - \frac{e^2}{4\pi\epsilon_0 r}$

or  $\|\vec{L}\| = m_e r^2 \dot{\theta} \Rightarrow \dot{\theta} = \frac{\|\vec{L}\|}{m_e r^2} = \frac{\vec{L}}{m_e r^2}$

D'où  $E_m = \frac{1}{2} m_e \dot{r}^2 - \frac{e^2}{4\pi\epsilon_0 r} + \frac{r^2}{2} \frac{\vec{L}^2}{m_e^2 r^4}$

$\rightarrow E_m = \frac{1}{2} m_e \dot{r}^2 + E_{p,\text{eff}}(r)$  où  $E_{p,\text{eff}}(r) = \frac{\vec{L}^2}{2m_e r^2} - \frac{e^2}{5\pi\epsilon_0 r}$



1<sup>er</sup> cas :  $L \neq 0$

- Si  $E_m = E_{m_1}$ ,  $r > r_1$  : état libre (hyperbole)
- Si  $E_m = E_{m_2}$ ,  $r_2 \leq r \leq r_3$  : état lié (ellipse)
- Si  $E_m = 0$ , parabole.
- Si  $E_m = E_{m_3}$ , états impossibles.

2<sup>ème</sup> cas :  $L = 0$

- Si  $E_m > 0$  : états impossibles
- Si  $E_m < 0$  : états libres

Q6) Pour avoir une trajectoire circulaire :  $L \neq 0$

$$E_m = E_{m_0} = E_{\text{eff}, \min}$$

• Soit  $\frac{dE_{pff}}{dr} = 0$

$$\Leftrightarrow \frac{L^2}{2m_e} \cdot \left( -\frac{\lambda'}{r^3} \right) + \frac{e^2}{4\pi\epsilon_0 r^2} = 0$$

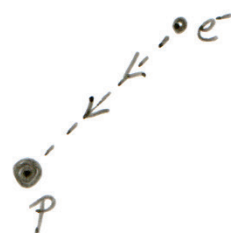
$$\Leftrightarrow \frac{L^2}{m_e r} = \frac{e^2}{4\pi\epsilon_0} \quad \Rightarrow r = \frac{4\pi\epsilon_0 L^2}{m_e e^2} \quad | \textcircled{1}$$

• Et  $E_m = \frac{1}{2} m_e \frac{L^2}{m_e^2 r^2} - \frac{e^2}{4\pi\epsilon_0 r}$  car  $\dot{r} = 0$

$$= \frac{1}{2} \frac{e^2}{4\pi\epsilon_0 r} - \frac{e^2}{4\pi\epsilon_0 r} = -\frac{e^2}{8\pi\epsilon_0 r}$$

$$= -\frac{e^2}{8\pi\epsilon_0} \cdot \frac{m_e e^2}{4\pi\epsilon_0 L^2} \quad \Rightarrow E_m = -\frac{m_e e^4}{32\pi^2 \epsilon_0^2 L^2} \quad | \textcircled{2}$$

(Q7) Si  $L = 0 \Rightarrow \vec{O\vec{r}}$  et  $\vec{v}$  colinéaires  
 $\Rightarrow$  trajectoire rectiligne



(Q8) Soit:  $L = mvr = nh$

$$\textcircled{1} \Rightarrow r = \frac{h\pi\epsilon_0 (nh)^2}{m_e e^2}$$

$$\Rightarrow r = n^2 a_0 \text{ où } a_0 = \frac{h\pi\epsilon_0 \hbar^2}{m_e e^2} = 52,9 \text{ pm} \quad |$$

(Q9)  $\textcircled{2} \Rightarrow E_m = -\frac{m_e e^4}{32\pi^2 \epsilon_0^2 (nh)^2}$

$$\Rightarrow E_m = \frac{E_0}{n^2} \text{ où } E_0 = -\frac{m_e e^4}{32\pi^2 \epsilon_0^2 \hbar^2} = -13,6 \text{ eV} \quad |$$

Q10) Soit  $\langle E_C \rangle = \frac{3}{2} k_B T$  (On tient compte des 3 degrés de liberté de translation)

$$E_i = -E_0$$

$$\Rightarrow T = \frac{2}{3} \frac{|E_0|}{k_B} \rightarrow 10^5 K$$

Q11) Soit  $|E_m - E_0| = E_0 \left(1 - \frac{1}{m^2}\right)$

Pour  $\begin{cases} m=2 \text{ on a } |E_2 - E_1| = 10,2 \text{ eV cas ①} \\ m \rightarrow \infty \text{ on a } |E_m - E_1| = 13,6 \text{ eV cas ②} \end{cases}$

d'où :  $\begin{cases} \lambda_1 = hc \cdot \frac{1}{|E_2 - E_1|} = 1,22 \cdot 10^{-7} \text{ m} \\ \lambda_2 = hc \cdot \frac{1}{|E_m - E_1|} = 9,13 \cdot 10^{-8} \text{ m} \end{cases}$

Q12) Soit  $\vec{db}_0 = I \vec{S} = I \pi r^2 \vec{\mu}_z$

$$\begin{aligned} &= -\frac{e}{T} \cdot \pi r^2 \\ &= -\frac{e}{2\pi r} \cdot v \cdot \pi r^2 \\ &= -\frac{evr}{2} = -\frac{e}{2m_e} \cdot m_e v r \quad \Rightarrow \vec{db}_0 = \gamma_0 \vec{L} \text{ où } \gamma_0 = -\frac{e}{2m_e} \end{aligned}$$

Q13) Soit  $\gamma_0 = -\frac{e}{2m_e}$

Q14) Soit :  $\vec{B} = \frac{\mu_0}{4\pi} \cdot \frac{3(\vec{ch}_p \cdot \vec{\mu}) \vec{\mu} - \vec{db}_p}{r^3}$

$$\Leftrightarrow \vec{B} = \frac{\mu_0}{4\pi r^3} \left[ 3(\vec{S}_p \cdot \vec{\mu}) - \vec{S}_p \right] \cdot \frac{q_p \cdot e}{2m_p}$$

Or:  $\vec{M}_p$  et  $\vec{s}_p$  sont orthogonaux aux plans de l'orbite.  
 $\Rightarrow \vec{s}_p \cdot \vec{n} = 0$

$$\text{d'où } \vec{B}(P) = - \frac{\mu_0 g_p e}{8\pi a_0^3 m_p} \vec{s}_p \quad \text{car } r = a_0$$

Q15) A l'état fondamental:  $V_e = -\alpha \hbar e \cdot \vec{B} = -\frac{\mu_0 g_p g_s e^2}{16\pi m_p m_e a_0^3} \vec{s}_e \cdot \vec{s}_p$

or  $\vec{s}_e$  ou  $\vec{s}_p = \pm \frac{\hbar}{2} \vec{n}_e$ .  $\Rightarrow \vec{s}_e \cdot \vec{s}_p = \pm \frac{\hbar^2}{4}$  d'où 2 valeurs possibles  $E_u$  et  $E_l$  tel que:

$$E_l = -\frac{\mu_0 g_p g_s e^2}{16\pi m_p m_e a_0^3} \frac{\hbar^2}{4} \text{ et } E_u = -E_l$$

Q16) d'où  $\Delta E = \frac{\mu_0 g_p g_s e^2 \hbar^2}{32\pi m_p m_e a_0^3} \quad \text{car } E_u = E_l + \Delta E$

Q17) Pour l'orbitale ls  $L=0$  ce qui est contradictoire avec le modèle de Bohr car  $L=0 \Leftrightarrow$  trajectoire rectiligne.

Q18) Si  $L=0$ , le mouvement de l'électron est rectiligne et dirigé vers le noyau. Sa probabilité de présence au voisinage du centre sera donc importante. En revanche si  $L \neq 0$  la distance la plus probable est  $a_0$  loin du noyau à l'échelle atomique.

Q19) Soit  $V_0 = \frac{\Delta E}{R}$  et  $\lambda_0 = \frac{c}{V_0} \Rightarrow \lambda_0 = \frac{hc}{\Delta E}$

A.N:  $V_0 = 1,161,6 \text{ Hz}$  et  $\lambda_0 = 21,3 \text{ cm}$ . Cette longueur d'onde fait partie des ondes radio.

Q20) Emission spontanée (es) désexcitation de  $E_m$  vers  $E_n$  avec  $m > n$ . Cette transition s'accompagne d'émission de photon  $t \cdot q \ h\nu_0 = |E_m - E_n|$

- Emission stimulée: processus auquel l'atome qui se trouve excité entre en interaction avec le rayonnement incident, il se désexcite en émettant un rayonnement de même direction, de même polarisation et de même énergie que le rayonnement incident.

- Absorption: Absorption du rayonnement incident par l'atome qui passe du niveau d'énergie  $E_m$  à  $E_n$   $t \cdot q \ h\nu_0 = |E_m - E_n|$

Q21)

$$\begin{array}{l} \text{---} \\ \text{---} \\ \text{---} \\ \text{---} \\ \text{---} \end{array} \quad \begin{array}{l} E_n (m_n) \\ E_l (m_l) \end{array} \quad \begin{array}{l} \text{Soit } \frac{dm_n}{dt} \Big|_{\text{es}} = -A_{nl} m_n \\ \Rightarrow \frac{dm_l}{dt} + \frac{m_n}{G} = 0 \text{ si } G = \frac{1}{A_{nl}} = 3,51 \cdot 10^{14} \text{ s} \\ \qquad \qquad \qquad = 11 \text{ millions d'années} \end{array}$$

Q22) Le milieu interstellaire est formé à 89% d'hydrogène atomique d'où la forte intensité de cette raie.

Q23) Soit  $M_H = M_n + M_l$  où  $\frac{M_n}{M_l} = \frac{g_n}{g_l} \cdot e^{-\frac{(E_n - E_l)}{k_B T}}$

or  $\frac{E_n - E_l}{k_B T} \ll 1 \Rightarrow e^{-\frac{(E_n - E_l)}{k_B T}} \approx 1$

$$\Rightarrow \frac{M_n}{M_l} \approx \frac{g_n}{g_l} = 3$$

donc  $M_H = M_l \left(1 + \frac{M_n}{M_l}\right) = 4 M_l$

Q24) Soit  $\frac{dne}{dt} = \underbrace{A_{ue} n_u}_{es} + \underbrace{n_u M_v B_{uv}}_{ex} - \underbrace{n_v M_u B_{vu}}_{abs}$

Q25). La transition  $u \rightarrow l$  augmente le nombre de photons et la population du niveau  $l$  d'une unité

- La transition  $l \rightarrow u$  a l'effet inverse

$$\Rightarrow \frac{dne}{dt} = \frac{dn}{dt}$$

Q26) A l'aide de cette pondération on a donc :

$$\frac{dne}{dt} = n_u A_{ue} + \int_0^{\infty} (M_u B_{uv} - M_v B_{vu}) M_v \phi(v) dv$$

$$\alpha \int_0^{\infty} \phi(v) dv = 1 \Rightarrow \int_0^{\infty} \frac{dne}{dt} \phi(v) dv = \int_0^{\infty} [(M_u B_{uv} - M_v B_{vu}) M_v + M_u A_{ue}] \phi(v) dv$$

$$\Rightarrow \frac{dne}{dt} \phi(v) = [(M_u B_{uv} - M_v B_{vu}) M_v + M_u A_{ue}] \phi(v)$$

$$\text{On pose } \frac{dmv}{dt} = \phi(v) \frac{dne}{dt} \Rightarrow \frac{dmv}{dt} = M_u (A_{ue} + B_{uv} M_v) \phi(v) - B_{vu} M_v \phi(v) M_v$$

Q27) A l'équilibre thermique  $\frac{dmv}{dt} = 0 \Rightarrow M_u (A_{ue} + B_{uv} M_v) = B_{vu} M_v M_u$   
 $\Rightarrow M_v [M_e B_{vu} - M_u B_{uv}] = M_u A_{ue}$ .

$$\Rightarrow M_v = \frac{A_{ue} M_u}{B_{vu} M_e - B_{uv} M_u}$$

Q28) Donc  $M_v = \frac{A_{ue} M_u}{B_{vu} M_u} \cdot \frac{1}{\frac{B_{vu} \cdot M_e}{B_{uv} \cdot M_u} - 1}$

$$= \frac{A_{ue}}{B_{vu}} \cdot \frac{1}{\frac{B_{vu}}{B_{uv}} \cdot \frac{g_e}{g_u} \cdot \frac{e^{(E_u - E_v)/k_B T}}{e^{h\nu/k_B T}} - 1}$$

$$\text{or } U_V = \frac{8\pi h v^3}{c^3} \cdot \frac{1}{e^{\frac{hv}{k_B T}} - 1}$$

$$\text{donc } \frac{A_{\text{ul}}}{B_{\text{ul}}} = \frac{8\pi h v^3}{c^3} \quad \text{et} \quad g_e B_{\text{em}} = g_m B_{\text{ul}}$$

Q29) Soit  $\vec{\Pi} = \frac{\vec{E} \times \vec{B}}{\mu_0}$

Q30) On considère  $\begin{cases} \vec{E} = \vec{E}_0 \cos(\omega t - kx) \\ \vec{B} = \vec{B}_0 \cos(\omega t - kx) = \frac{E_0}{c} \cos(\omega t - kx) \vec{n} \end{cases}$

$$\Rightarrow \vec{\Pi} = \frac{E_0^2}{\mu_0 c} \vec{n}$$

$$\Rightarrow \vec{\Pi} = \epsilon_0 c E_0^2 \cos^2(\omega t - kx) \vec{n}$$

$$\text{or } I = \langle \vec{\Pi} \cdot \vec{n} \rangle_t = \frac{\epsilon_0 c E_0^2}{2}$$

$$\text{De plus } u = \left\langle \frac{\epsilon_0 E^2}{2} + \frac{B^2}{2\mu_0} \right\rangle = \langle \epsilon_0 E^2 \rangle \Rightarrow u = \frac{\epsilon_0 E_0^2}{2}$$

$$\Rightarrow I = cu$$

Q31) On a:  $u_V = h\nu \cdot m_V$

Q32) Soit  $dI_V = I_V(z+dz) - I_V(z) = \frac{\partial I_V}{\partial z} \cdot dz$

$$\Rightarrow dI_V = \frac{\partial (cm_V / 4\pi)}{\partial z} \cdot dz = \frac{c}{4\pi} \frac{\partial m_V}{\partial z} \cdot dz$$

$$\Rightarrow dI_V = \frac{c}{4\pi} \cdot h\nu \cdot \frac{\partial m_V}{\partial z} \cdot dz$$

$$\text{or } \frac{\partial m_V}{\partial z} = \frac{\partial m_V}{\partial t} \cdot \frac{\partial t}{\partial z} = \frac{\partial m_V}{\partial t} \cdot \frac{1}{c} \Rightarrow dI_V = \frac{h\nu}{4\pi} \frac{\partial m_V}{\partial t} \cdot dz.$$

$$\text{or} \begin{cases} \frac{dm_v}{dt} = (A_{uv} + B_{uv} \mu_v) \phi(v) m_u - B_{vu} \mu_v \phi(v) m_e \\ B_{uv} = \frac{c^3}{8\pi V_0^3} A_{uv} \\ B_{vu} = \frac{g_u}{g_e} \cdot B_{uv} \end{cases}$$

$$\begin{aligned} \text{d'où } \frac{dm_v}{dt} &= A_{uv} \left[ \left( 1 + \frac{c^3 \mu_v}{8\pi V_0^3} \right) \phi(v) m_u - \frac{g_v}{g_e} \frac{c^3}{8\pi V_0^3} \mu_v \phi(v) m_e \right] \\ &= A_{uv} \phi(v) m_u + A_{uv} \underbrace{\frac{c \mu_v}{h\pi}}_{I_v} \cdot \frac{c^2}{2V_0^3} \phi(v) \left[ m_u - \frac{g_u}{g_e} m_e \right] \\ &= A_{uv} \phi(v) m_u + A_{uv} I_v \cdot \frac{c^2}{2V_0^3} \phi(v) m_e \frac{g_u}{g_e} \left[ \frac{g_e}{g_u} \cdot \frac{m_u}{m_e} - 1 \right] \end{aligned}$$

$$\text{or } \frac{m_u}{m_e} = \frac{g_u}{g_e} e^{-hv_0/k_B T}$$

$$\Rightarrow \frac{dm_v}{dt} = A_{uv} \phi(v) m_u + A_{uv} I_v \cdot \frac{c^2}{2V_0^3} \phi(v) m_e \frac{g_u}{g_e} \left[ e^{-hv_0/k_B T} - 1 \right]$$

$$\text{D'où : } dI_v = \left[ A_{uv} \cdot \frac{h\nu}{4\pi} \phi(v) m_u + A_{uv} \cdot I_v \cdot \frac{c^2 h\nu}{8\pi h V_0^3} \phi(v) m_e \frac{g_u}{g_e} \left[ e^{-hv_0/k_B T} - 1 \right] \right] dz$$

$$\text{or } dI_v = j_v dz - k_v \cdot I_v dz$$

$$\rightarrow \begin{cases} j_v = \frac{h\nu}{4\pi} \cdot A_{uv} \phi(v) m_u \\ k_v = \frac{c^2 V}{8\pi V_0^3} \phi(v) A_{uv} m_e \frac{g_u}{g_e} \left( 1 - e^{-hv_0/k_B T} \right) \end{cases}$$

Q33) Donc :  $\frac{dI_v}{dz} + k_v I_v = j_v$  or  $j_v$  ne dépend pas de  $z$   
 et  
 $I_v(z=0) = 0$

d'où :  $I_v(z) = \frac{j_v}{k_v} \left(1 - e^{-k_v z}\right)$

$\Rightarrow I_v(L) = \frac{j_v}{k_v} \left(1 - e^{-k_v L}\right)$

Q34) On a vu que  $\hbar v \ll k_B T$  d'où à l'aide d'un DL :  $e^x \approx 1+x$  on obtient

$$k_v = \frac{c^2 V}{8\pi V_0^3} \phi(v) \cdot \text{Aue. M}_e \cdot \frac{g_u}{g_e} \cdot \frac{\hbar v_0}{k_B T}$$

or  $\begin{cases} M_e = \frac{m_H}{4} & (\text{Q23}) \\ \frac{g_u}{g_e} = 3 \end{cases}$   $\rightarrow k_v = \frac{3c^2 \hbar v}{32\pi k_B T V_0^2} \phi(v) \text{ Aue } m_H$

Q35) On calcule :  $k_v L = 3,6 \cdot 10^{-2} \ll 1$  d'où  $1 - e^{-k_v L} \approx k_v L$   
 $3pc = 3\text{parsec}$   $\Rightarrow I_v(L) \approx j_v \cdot L$

Q36) Entre le nuage d'hydrogène et la terre, le milieu traversé par le rayonnement HI est assimilable au vide et peut donc être considéré transparent.

$\Rightarrow I_v$  n'y a pas d'atténuation

$\Rightarrow I_v(L) = I_v(\text{terre})$

Q37) Soit  $I_v(L) = j_v L = \frac{\hbar v}{4\pi} \text{ Aue } m_{HI} \phi(v) \cdot L$

or  $m_{HI} = \frac{3}{4} m_H \Rightarrow I_v(L) = \frac{3}{16\pi} \hbar v \text{ Aue } \phi(v) m_H L$

or  $N(H) = m_H L \Rightarrow I_v(L) = \frac{3\hbar v}{16\pi} \text{ Aue } \phi(v) N(H)$

Q38) Soit  $\left\{ \begin{array}{l} N_H = \int_{\text{nuage}} N(H) dS = \int_{\text{nuage}} N(H) \cdot D^2 d\Omega \quad (\text{cf annexe}) \\ F_V = \int I_V d\Omega = \int \frac{3h\nu}{16\pi} \text{Ave } \phi(\nu) \cdot N(H) d\Omega = \frac{3h\nu \text{Ave } \phi(\nu)}{16\pi} \int N(H) d\Omega \end{array} \right.$

$$\text{donc } F_V = \frac{3h\nu \text{Ave } \phi(\nu)}{16\pi} \cdot \frac{N_H}{D^2}$$

$$\boxed{\text{donc } F_V = \frac{3h\nu \text{Ave } \phi(\nu)}{16\pi} \cdot \frac{N_H}{D^2}}$$

Q39) D'où  $\int_0^\infty F(\nu) d\nu = \frac{3 \text{Ave } N_H}{16 D^2 \pi} \cdot h \cdot \underbrace{\int_0^\infty \nu \phi(\nu) d\nu}_{= V_0}$

$$\Rightarrow \boxed{\int_0^\infty F(\nu) d\nu = \frac{3hV_0}{16\pi D^2} \text{ Ave. } N_H}$$

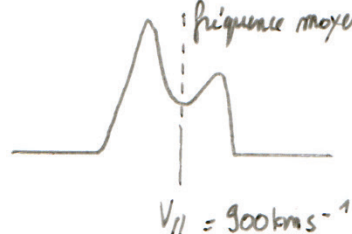
Q40) D'après l'effet Doppler :  $v' = v(1 - V_{II}/c)$

→ il existe une relation affine entre les 2 variables

→ on peut donc utiliser une échelle en  $v$  ou en  $V_{II}$ .

fréquence moyenne perçue.

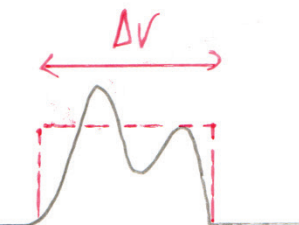
Q41) D'après le graphique



$$\text{on obtient } V_0 = 1416,2 \text{ MHz}$$

$$\boxed{V_0 = 900 \text{ km} \cdot \text{s}^{-1}}$$

or flot de :  $D = \frac{V_0}{H_0} \approx 13 \text{ Mpc}$



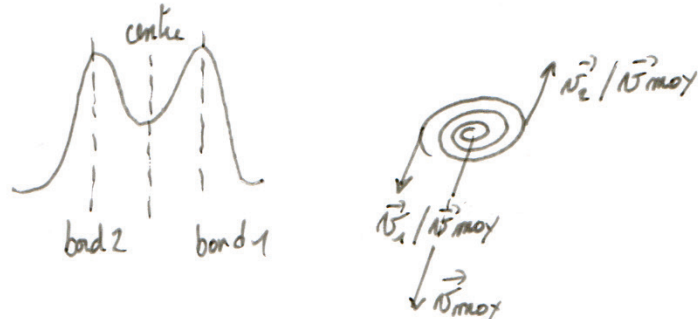
On utilise une modélisation par rectangle :

$$\text{d'où } \int_0^{+\infty} F_V d\nu = F_{V,\text{moy.}} \Delta V = \underbrace{0,35}_{\text{en Jy}} \times \underbrace{(1416,7 - 1415,5)}_{10^4} = \boxed{4 \cdot 10^{-21} \text{ W.m}^{-2}}$$

Q42) d'après en la forme du spectre HI est dû au fait que :

- au centre  $V_{\text{H}}$  est moyen
- sur le bord  $V_{\text{H}}$  maximal avec une forte densité d'hydrogène par face centrifuge.
- Sur le bord  $V_{\text{H}}$  minimal

D'où  $F(v)$ :

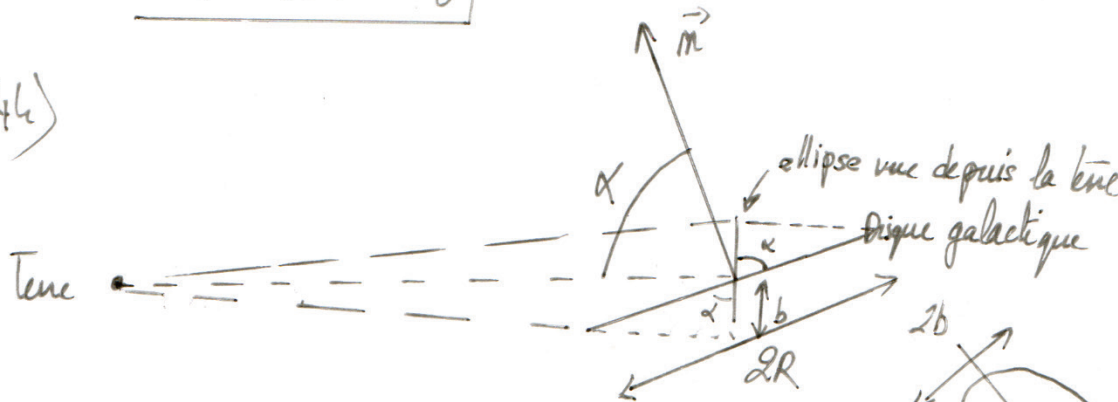


Q43) Soit  $N_{\text{H}} = \frac{16\pi J^2}{3h\nu_0 A_{\text{H}} \text{Aul}} \int_0^{\infty} F_v dv$

$$\Rightarrow m_{\text{H}} = m_p \cdot N_{\text{H}} \sim 7 \cdot 10^{39} \text{ kg}$$

$$\Rightarrow m_{\text{H}} = 3,5 \cdot 10^9 m_{\odot}$$

Q44)

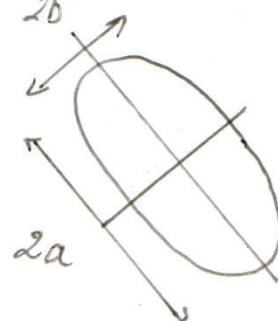


Supposons que  $2\alpha = 2R$

et d'après le schéma :

$$2b = 2R \cos \alpha \rightarrow \frac{b}{a} = 0,4 = \cos \alpha$$

$$\Rightarrow \alpha \approx 65^\circ$$



D'après la figure 3 on a au centre du nuage  $V_{\parallel} = 0$ .

Or aux bords on a  $V_{\parallel} \neq 0$  et on peut l'estimer à

$$\underline{V_{\parallel} = 50 V_{\parallel} = 100 \text{ km.s}^{-1}}$$

Or  $\underline{V = \frac{V_{\parallel}}{\sin \alpha}} = \underline{10 \text{ km.s}^{-1}}$

Q45) Symétrie sphérique  $\Rightarrow \vec{g}(r)\beta = -\frac{GM_r}{r^2} \hat{u}_r$

Dans Pg, le PFD appliqué à un nuage de masse  $m$  situé en périphérie de la galaxie donne :

$$-\frac{mv^2}{R} = -\frac{GM_r m}{R^2} \Rightarrow M_t = \frac{RV^2}{G}$$

On d'après la figure 3 on a :

$$\Rightarrow 2R \cos(45^\circ) \approx BD.$$

$$\Rightarrow R = \frac{BD}{2 \cos(45^\circ)} = \frac{13 \cdot 10^3 \text{ pc}}{2 \cos(45^\circ)}$$

$$\text{or } M_t = \frac{RV^2}{G} = 7 \cdot 10^{40} \text{ kg.} \gg M_H. \quad (\text{Il reste de la matière noire})$$

